

miR-424 对非小细胞肺癌细胞株 A549 迁移及侵袭的影响

王 胜,熊 飞,开金丹*

(湖北省肿瘤医院胸外科,武汉 430079)

【摘要】目的 探讨 miR-424 对非小细胞肺癌细胞株 A549 迁移及侵袭的影响。方法 RT-PCR 法检测肺癌细胞 NCI-H460、NCI-H1975、NCI-H446、A549、NCI-H1299、NCI-H157 及人胚肺成纤维细胞 MRC-5 中 miR 424 表达,脂质体 Lipofectamine TM 2000 将 miR-424 inhibitor 和 miR-424 NC 转人 A549 细胞中,48 h 后,RT-PCR 法检测 miR-424 表达,CCK-8 法检测细胞活力,划痕实验检测细胞迁移能力,Transwell 实验检测细胞侵袭能力,westem blot 检测基质金属蛋白酶 2 (MMP2)、MMP9、转化生长因子-β1 (TGF-β1)及 p-Smad3 的表达。结果 miR-424 在肺癌细胞 NCI-H460、NCI-H1975、NCI-H446、A549、NCI-H1299、NCI-H157 中的 [(1.78 ± 0.13),(1.69 ± 0.10),(1.89 ± 0.18),(2.88 ± 0.27),(2.52 ± 0.20),(2.49 ± 0.23)]表达量显著高于 miR-424 在人胚肺成纤维细胞 MRC-5 中的 (0.58 ± 0.05)表达量 (P < 0.01)。与 miR-424 NC 组比较,miR-424 inhibitor 组 miR-424 表达量显著降低 (P < 0.01),细胞活力下降(P < 0.01),细胞迁移及侵袭能力降低(P < 0.01),MMP2,MMP9,TGF-β1 及 p-Smad3 表达量均显著下调 (P < 0.01)。结论 miR-424 表达量下调后能通过抑制 TGF-β1/Smad3 信号通路进而抑制 A549 细胞的迁移及侵袭。

【关键词】 miR424;非小细胞肺癌;A549;迁移;侵袭

【中图分类号】R-33 【文献标识码】A 【文章编号】1671-7856(2017) 10-0074-06

doi: 10.3969. j. issn. 1671 - 7856. 2017. 10.015

Effect of miR-424 on migration and invasion of non-small cell lung cancer cells A549

WANG Sheng, XIONG Fei, KAI Jin-dan*
(Department of Thoracic Surgery, Hubei Cancer Hospital, Wuhan 430079, China)

[Abstract] Obejectives To explore the effect of miR-424 on migration and invasion of non-small cell lung cancer A549 cells. Methods Expression of miR-424 in NCI-H460, NCI-H1975, NCI-H446, A549, NCI-H1299, NCI-H157 lung cancer cells and embryonic lung fibroblasts MRC-5 cells was examined by RT-PCR. miR-424 inhibitor and miR-424 NC were transfected into A549 cells with liposome Lipofectamine[™] 2000. Cell viability was measured by MTT assay. Cell migration and invasion was measured by wound scratch assay and transwell migration assay, respectively. The expression of matrix metalloproteinase 2 (MMP2), MMP9, transforming growth factor-β (TGF-β1), p-Smad3 was measured by western blot. Results The expression of miR-424 in NCI-H460, NCI-H1975, NCI-H446, A549, NCI-H1299, NCI-H157 cells (1.78 ± 0.13, 1.69 ± 0.10, 1.89 ± 0.18, 2.88 ± 0.27, 2.52 ± 0.20, 2.49 ± 0.23) was significantly higher than that in

MRC-5 cell 0.58 \pm 0.05 (P < 0.01). Compared with the miR-424 NC group, the cell viability was reduced (P < 0.01), cell migration and invasion ability was decreased (P < 0.01), and the expression of MMP2, MMP9, TGF- β 1, p-Smad3 protein was down-regulated in miR-424 inhibitor group (P < 0.01). **Conclusions** miR-424 inhibitor can inhibit the migration and invasion in lung cancer A549 cells via inhibition of TGF- β 1/Smad3 signal pathway.

[Key words] miR-424; Non-small cell lung cancer; A549; Migration; Invasion

肺癌是一种常见的呼吸道恶性肿瘤,在全世界 范围内发病率及死亡率均居首位,且逐年成上升趋 势。肺癌包括非小细胞肺癌及(non-small cell lung cancer, NSCLC) 小细胞肺癌(SCLC), 前者占了将近 85%的比例。近些年来虽然随着外科手术、化疗、放 疗等医学技术手段不断提高,肺癌患者术后5年生 存率仍不足5%,预后极差。造成这一结果的主要原 因是肺癌的侵袭转移,因此探讨肺癌细胞的侵袭转移 机制对于肺癌的治疗将具有重要意义[1-3]。 miRNA 是一种长度约为 21~23 nt 的高度保守的非编码小 RNA分子,通过靶向调控靶基因 mRNA 表达,参与细 胞的增殖、分化、凋亡、迁移及侵袭转移等生命过 程[4,5]。众多研究已经表明 miRNA 在包括肺癌在内 的众多肿瘤组织中异常表达, miR-424 是其中一 种[5,6]。miR-424 是 miR-16 家族的一员,研究显示 miR-424 在不同的肿瘤组织中表达趋势不同, 在 NSCLC、乳腺癌、肾癌等组织中表达量上调,在宫颈 癌、子宫内膜癌、卵巢癌中表达量下调[7,8],但在肿瘤 的发生过程中的具体作用机制尚未见报道,因此本研 究将探讨 miR-424 在肺癌细胞株中的表达,及其对肺 癌细胞迁移及侵袭的影响及相关机制。

1 材料和方法

1.1 细胞株

人大细胞肺癌细胞 NCI-H460,人肺腺癌细胞 NCI-H1975,人小细胞肺癌细胞 NCI-H446,人非小细胞肺癌细胞 A549,H1299,NCI-157,人胚肺成纤维细胞 MRC-5 购于中国科学院上海细胞库。

1.2 主要试剂和仪器

miR-424 inhibitor 和 miR-424 NC 均购自广州锐博技术有限公司。兔抗人 MMP2、MMP9、TGF-β1、Smad3 和 p-Smad3 多克隆抗体均购自美国 Abcam公司。胎牛血清和 DMEM 培养基均购自美国 Hyclone 公司。辣根过氧化物酶标记山羊抗兔 IgG (H+L)、BCA 试剂盒和 CCK-8 试剂盒均购自南京凯基生物技术有限公司。Trizol 法试剂盒、LipofectamineTM2000 脂质体和一步法 RT-PCR 试剂盒均购自大连宝生生物技术有限公司。Transwell

小室购自美国 Corning 公司。DYCZ-425D 型双垂直电泳仪和 DYCZ-40D 型转印电泳仪均购自北京六一仪器厂。GelDoc XR System 凝胶成像系统购自美国伯乐公司。FACSCalibur 型流式细胞仪和 168-1000XC 型酶标仪均购自美国 BD 公司。AF6000 型 荧光显微镜购自德国莱卡公司。

1.3 实验方法

1.3.1 RT-PCR 法检测 miR-424 在细胞中的表达

使用 Trizol 试剂盒提取细胞总 RNA,并检测纯度;接着采用一步法 RT-PCR 将 RNA 逆转录为 cDNA 并进行扩增;最后利用琼脂糖凝胶电泳检测 cDNA 扩增产物。miR-424 上游引物:5'- CAGCAGC AAUUCAUGUUUUGAA -3',下游引物:5'-CGCTTC ACGAATTTGCGTGTCAT-3'; GAPDH上游引物:5'-AGCCACATCGCTCAGACA-3',下游引物:5'-TGGA CTCCACGACGTACT-3'。上游引物和下游引物由上海生工合成。

1.3.2 细胞转染

当 A549 细胞生长至 50% 左右时,利用 Lipofectamine [™]2000 脂质体将 miR-424 inhibitor 和 miR-424 NC 转染到 A549 细胞中,6 h 后弃去培养液,换成含 10% 血清的 DMEM 培养基并继续培养48 h。使用 RT-PCR 法检测细胞中 miR 424 表达。

1.3.3 CCK-8 法检测 A549 细胞活力

将 5 × 10³ 个 A549 细胞接种至 96 孔板,培养24 h,按"1.3.2"进行转染,48 h 时每孔中均加入CCK-8 试剂,继续孵育 4 h,然后利用酶标仪检测波长 570 nm 处的 OD 值,所测 OD 值即为细胞活力。

1.3.4 划痕实验检测细胞迁移能力

取按"1.3.2"进行转染的 A549 细胞接种到 6 孔板,继续培养 24 h后,用200 μL 的枪头对 6 孔板 内的细胞进行划痕,接着用 PBS 洗去脱落下来的细胞,继续培养 24 h,于倒置显微镜下进行拍照并每孔选取 4 个视野进行划痕距离的记录。

1.3.5 Transwell 法检测细胞侵袭能力

实验前将 Matrigel 胶均匀的平铺于 Transwell 小室微膜上,备用。将 1 × 10⁴ 个 A549 细胞接种于 6 孔板后,按"1.3.2"进行转染,继续培养 48 h后,用

胰蛋白酶将细胞消化下来并制成单悬液,用含有10%胎牛血清的 DMEM 培养基重悬,并接种至Transwell 上室,下室仅加入含10% 胎牛血清的DMEM 培养基,48 h后,将 Transwell 小室取出,用多聚甲醛固定细胞,接着结晶紫染色,并在倒置显微镜下进行观察,对 Transwell 下室 5 个视野中的细胞计数取平均值,即为细胞的侵袭数目。

1.3.6 Western blot 检测细胞 MMP2、MMP9、TGFβ1、Smad3、p-Smad3 中表达

将 1×10^5 个细胞接种至 6 孔板,按" 1.3.2"操作步骤进行转染,培养 48 h,在冰浴条件下将 6 孔板中的细胞刮取并离心收集,向其中加入细胞裂解液,30 min 后离心收取上清液即为总蛋白,总蛋白浓度测定及定量根据 BCA 试剂盒说明书进行,接着将蛋白煮沸变性,取大约 30 ng 左右蛋白样品上样,进行十二烷基苯磺酸钠凝胶电泳 2 h;接着湿法转膜 $30 \sim 50$ min。 2% BSA 室温下孵育 1 h,一抗溶液(兔 MMP2,MMP9,TGF- β 1,Smad3,p-Smad3 多克隆抗体,稀释度为 1:100) 4% 过夜孵育。第二天在室温条件下,在二抗溶液(辣根过氧化物酶标记山羊抗兔 1gG(H+L))中孵育 $1\sim 2$ h,凝胶成像系统中曝光。

1.4 统计学方法

所有数据均用 SPSS 17.0 软件进行统计分析,用平均数 \pm 标准差($\bar{x} \pm s$)表示,采用 t 检验分析两组之间数据差异性,以 P < 0.05 表示差异有显著性。

2 结果

2.1 miR-424 在肺癌细胞及胚肺成纤维细胞中的 表达

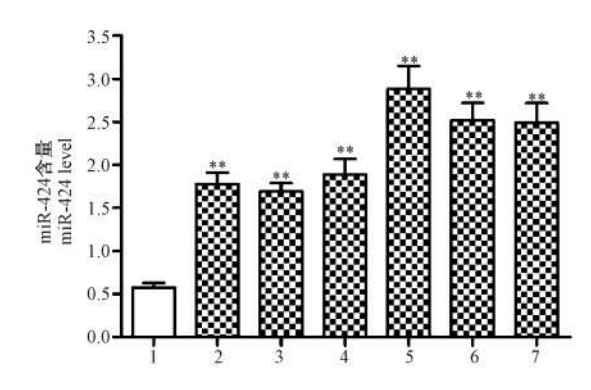
如图 1 所示, miR-424 在肺癌细胞 NCI-H460、NCI-H1975、NCI-H446、A549、NCI-H1299、NCI-H157中[(1.78 ± 0.13)、(1.69 ± 0.10)、(1.89 ± 0.18)、(2.88 ± 0.27)、(2.52 ± 0.20)、(2.49 ± 0.23)]的表达量显著高于 miR-424 在人胚肺成纤维细胞 MRC-5(0.58 ± 0.05)中的表达量,差异有显著性(P < 0.01)。

2.2 miR-424 inhibitor 转染效果的检测

如图 2 所示,与 miR 424 NC 组(2.89 ± 0.28) 比较,miR-424 inhibitor 组(0.74 ± 0.07)中 miR-424 表达量下降 (P < 0.01)。

2.3 miR-424 inhibitor 对 A549 细胞活力的影响

与 miR-424 NC 组(0.72 ± 0.07)比较, miR-424

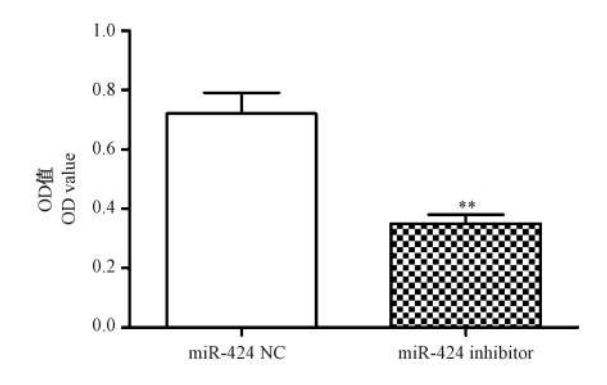


注:1:MRC-5;2:NCI-H460;3:NCI-H1975;4:NCI-H446;5:A549;6:NCI-H1299;7:NCI-H157;与MRC-5比较,**P<0.01;miR-214表达量即是miR-214的拷贝数。

图 1 miR-424 在肺癌细胞及胚肺成纤维 细胞中的表达

Note. 1:MRC-5 cells; 2:NCI-H460 cells; 3:NCI-H1975 cells; 4:NCI-H446 cells; 5:A549 cells; 6:NCI-H1299 cells; 7:NCI-H157 cells; Compared with MRC-5, **P < 0.01; The expression of miR-214 is miR-214 copy number.

Fig. 1 Expression of miR-424 in the lung cancer cells and embryonic lung fibroblasts



注:与 miR-424 NC 比较, **P < 0.01。

图 2 miR-424 inhibitor 转染效果的检测 Note. Compared with the miR-424 NC, *P < 0.01.

Fig. 2 Detection of transfection efficiency of miR-424 inhibitor

inhibitor组(0.35 ± 0.03)细胞活力均降低(P < 0.01)。

2.4 miR-424 inhibitor 对 A549 细胞迁移及侵袭能力的影响

如图 3 所示,与 miR-424 NC 组(25.34 ±2.35) 比较,miR-424 inhibitor 组(4.78 ±0.45)细胞迁移距 离降低(P < 0.01)。如图 4 所示,与 miR-424 NC 组 (156.49 ± 14.55) 比较, miR-424 inhibitor 组(39.76 ± 3.28)细胞侵袭数目降低(P < 0.01)。

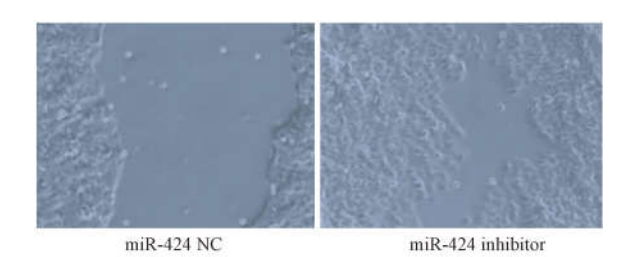


图 3 miR-424 inhibitor 对 A549 细胞迁移能力的影响(×200)

Fig. 3 Effect of miR-424 inhibitor on A549 cell migration ability

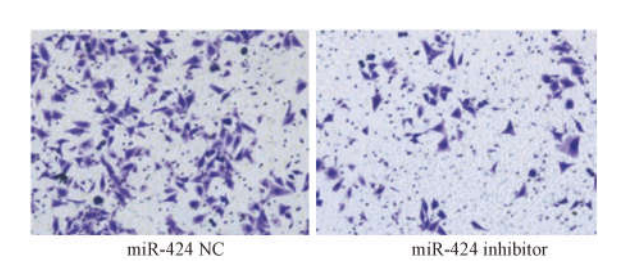


图 4 miR 424 inhibitor 对 A549 细胞侵袭能力的 影响(× 200)

Fig. 4 Effect of miR-424 inhibitor on A549 cell invasion ability

2.5 miR-424 inhibitor 对 A549 细胞中 MMPs 表达量的影响

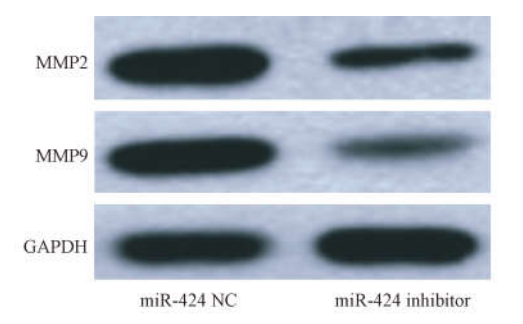
如图 5 所示,与 miR-424 NC 组比较, miR-424 inhibitor 组中 MMP2、MMP9 表达量显著下调,差异有显著性(P < 0.01)。

2. 6 miR-424 inhibitor 对 A549 细胞中 TGF-β 信 号通路的影响

如图 6 所示,与 miR-424 NC 组比较, miR-424 inhibitor 组中 TGF-β1 p-Smad3 表达量显著下调,差异有显著性(P< 0.01)。

3 讨论

相关学者于 1993 年在秀丽隐杆线虫中首次发现了 miRNA 的存在,即 lin-4;于 2000 年在秀丽隐杆线虫中又发现了第二个 miRNA,即 let-7。后续的十几年来在脊椎动物、植物及病毒中发现了近千种的 miRNA,并发现了 miRNA 不仅与生长发育,免疫调控有关,还发现 miRNA 所定位的基因组处于肿瘤相关的脆性区,提示了 miRNA 与肿瘤的发生可能密切相关^[4,5]。相关学者于 2002 年证实了 miRNA 和肿瘤的关系,慢性淋巴细胞白血病患者中 miR-15 和 miR-16 表达量下调,并且这两个 miRNA 与白血病



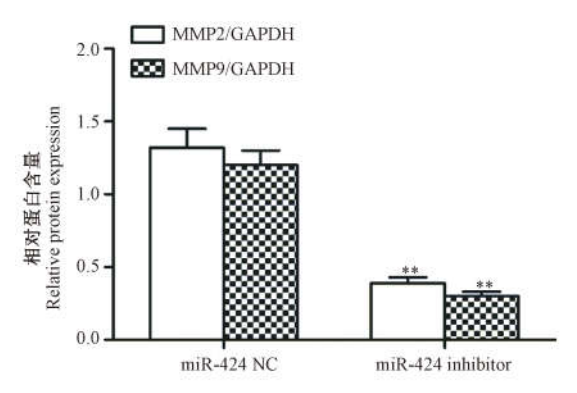
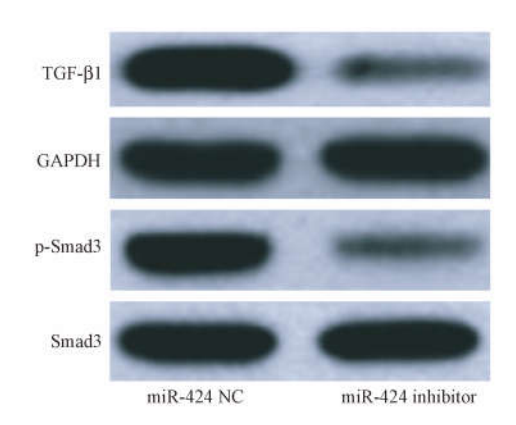


图 5 miR-424 inhibitor 对 A549 细胞中 MMPs 表 达量的影响

Fig. 5 Effect of miR-424 inhibitor on the expression of MMPs in A549 cells

的发生发展密切相关,引发了探讨 miRNA 在肿瘤发 生过程中的作用的相关研究[5,6]。miR-15/16 家族 包括了 miR-15a/b, miR-16, miR-195, miR-424 和 miR-497。其中 miR-424 定位于人类染色体 Xq26.3 上,但在鼠类中的同源物为 miR-322。研究显示 miR-424 在不同的生理和病理条件下其作用效果不 一样。如 miR-424 在 NSCLC、乳腺癌、肾癌等组织 中表达量上调,在宫颈癌、子宫内膜癌、卵巢癌中表 达量下调,但具体的作用机制尚未见报道[7,8]。因 此本研究将探讨 miR-424 在肺癌中的作用机制。首 先 Chen 等[9] 研究发现 miR-424 在肺癌患者病灶组 织及肺癌细胞系中的表达量均显著提高。Donnem 等[10]研究发现生存时间短的 NSCLC 患者中 miR-424 表达量显著的高于生存时间长的 NSCLC 患者, 且这一过程可能与 miR-424 促血管生成有关。所以 本研究首先利用 RT-PCR 法检测肺癌细胞 NCI-H460, NCI-H1975, NCI-H446, A549, NCI-H1299, NCI-H157 及人胚肺成纤维细胞 MRC-5 中 miR-424 的表达量,结果与 Chen 等[9], Donnem 等[10]研究一 致,肺癌细胞中 miR-424 的表达量显著高于 MRC-5 细胞中的表达量,提示 miR-424 在肺癌的发生发展 中起促进作用。同时 miR-424 在 A549 中的表达量



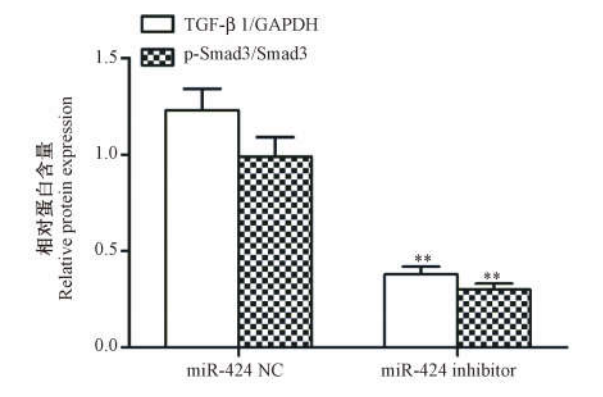


图6 miR 424 inhibitor 对 A549 细胞中 TGF-β 信 号通路的影响

Fig. 6 Effect of miR-424 inhibitor on TGF-β signal pathway in A549 cells

最高,所以本研究选取此细胞株作为后续研究对象。接着利用脂质体转染 miR-424 inhibitor 和 miR-424 NC, RT-PCR 法证明转染成功。进一步 CCK-8 法检测 miR-424 inhibitor 对 A549 细胞活力的影响,结果表明 miR-424 inhibitor 能显著的降低 A549 活力,与 miR-424 在胃癌细胞中的作用一致[11]。

研究已经显示肺癌细胞的侵袭转移是导致肺癌患者预后不良,5 年生存率低的主要原因^[1-3]。因此本研究进一步的探讨 miR-424 inhibitor 对 A549 细胞迁移及侵袭能力的影响,结果表明 miR-424 inhibitor 能显著的抑制 A549 的迁移及侵袭能力。weel,Chk1,CYLD,Wnt3a,BCL-2,E2F6 蛋白是目前已报道的 miR-424 的靶基因,但上述蛋白主要与细胞增殖、凋亡、细胞周期有关的,而与细胞的迁移及侵袭关系不大^[7,8]。另外细胞外基质的降解是细胞迁移,侵袭及转移等过程中的必经过程,MMPs 是降解细胞外基质最为主要的蛋白水解酶。同时 MMPs 也是一组 Zn²⁺-Ca²⁺依赖性蛋白酶,可以降解几乎所有的 ECM 成分。其中 MMP2 可以通过降解细胞外基质成分和诱导血管新生进而促进肿瘤细胞浸

润^[12]。MMP9是 MMPs 中分子量最大的蛋白水解酶,几乎也能降解所有的细胞外基质成分,提高肿瘤细胞的运动能力^[13]。所以本研究进一步的探讨miR-424 inhibitor 对 A549 细胞迁移及侵袭的影响,结果表明 miR-424 inhibitor 能显著的下调 MMP2 及 MMP9表达量,提示 miR-155 inhibitor 能通过下调 MMPs 进而抑制 A549 细胞的迁移及转移。

肿瘤细胞的迁移、侵袭等生物学过程受多种信号通路调控,TGF-β 就是其中一种^[14, 15]。TGF-β 包括TGF-β1、TGF-β2、TGF-β3,其中 TGF-β1 研究最为广泛。而 TGF-β1/Smad 信号通路也是 TGF-β1 介导的最为主要的信号通路,TGF-β1 与其下游受体Smad2/3 结合后,将信号传递到细胞核,进而调控靶基因的转录。且有研究表明 miR 424 能通过抑制TGF-β1/Smad3 信号通路进而抑制胃癌细胞的增殖,迁移等生物学行为^[11],提示 miR-424 可能也可以通过调控 TGF-β1/Smad3 信号通路进而抑制 A549 细胞的迁移及侵袭。所以本研究继续探讨miR-424 inhibitor 对 A549 细胞中 TGF-β1/Smad3 信号通路的影响,结果表明 miR-424 inhibitor 能显著的下调 TGF-β1、p-Smad3 表达,进而抑制 A549 细胞的迁移及侵袭。

综上所述,miR-424 在肺癌细胞中的表达量高于人胚肺成纤维细胞中的表达量,miR-424 inhibitor能显著的抑制 A549 细胞的迁移及侵袭,并下调MMP2 及 MMP9 表达,与抑制 TGF-β1/Smad3 信号通路有关。

参考文献:

- [1] Baker S, Dahele M, Lagerwaard FJ, et al. A critical review of recent developments in radiotherapy for non-small cell lung cancer[J]. Radiat Oncol, 2016, 11(1):115.
- [2] Paleiron N, Bylicki O, Andre M, et al. Targeted therapy for localized non-small-cell lung cancer; a review[J]. Onco Targets Ther, 2016,9:4099-4104.
- [3] Counago F, Rodriguez A, Calvo P, et al. Targeted therapy combined with radiotherapy in non-small-cell lung cancer: a review of the Oncologic Group for the Study of Lung Cancer (Spanish Radiation Oncology Society) [J]. Clin Transl Oncol, 2017, 19 (1):31-43.
- [4] Cai Y, Yu X, Hu S, et al. A brief review on the mechanisms of miRNA regulation [J]. Genom Proteom Bioinform, 2009,7(4): 147-154.
- [5] Gambari R, Brognara E, Spandidos D A, et al. Targeting oncomiRNAs and mimicking tumor suppressor miRNAs: New trends in the development of miRNA therapeutic strategies in

- oncology (Review)[J]. Int J Oncol, 2016,49(1):5-32.
- [6] 许文剑, 苏秀兰, 刘明. miRNA 与肿瘤关系的研究进展[J]. 医学综述, 2013, 19(17): 3120-3123.
- [7] 刘萍, 赵海苹, 罗玉敏. MicroRNA-424 在肿瘤发生中的作用 和机制研究进展[J]. 中国实验动物学报, 2016,24(5):529 -534
- [8] 赵海苹,刘萍,罗玉敏. MicmRNA-424 参与多种疾病发生发展的分子机制研究进展[J]. 中国比较医学杂志,2016,26(9):76-82.
- [9] Chen B, Duan L, Yin G, et al. Simultaneously expressed miR-424 and miR-381 synergistically suppress the proliferation and survival of renal cancer cells——Cdc2 activity is up-regulated by targeting WEE1 [J]. Clinics (Sao Paulo), 2013, 68 (6): 825 833
- [10] Donnem T, Fenton CG, Lonvik K, et al. MicroRNA signatures in tumor tissue related to angiogenesis in non-small cell lung cancer[J]. PLoS One, 2012,7(1):e29671.
- [11] Wei S, Li Q, Li Z, et al. miR-424-5 p promotes proliferation of

- gastric cancer by targeting Smad3 through TGF-beta signaling pathway [J]. Oncotarget, 2016.
- [12] Ekbote A V, Danda S, Zankl A, et al. Patient with mutation in the matrix metalloproteinase 2 (MMP2) gene - a case report and review of the literature [J]. J Clin Res Pediatr Endocrinol, 2014,6(1):40-46.
- [13] Gong L, Wu D, Zou J, et al. Prognostic impact of serum and tissue MMP-9 in non-small cell lung cancer: a systematic review and metaanalysis[J]. Oncotarget, 2016,7(14):18458-18468.
- [14] Sun N , Taguchi A , Hanash S. Switching roles of TGF-beta in cancer development: implications for the apeutic target and biomarker studies [J]. J Clin Med , 2016 ,5 (12).
- [15] Barrett CS, Millena AC, Khan SA. TGF-beta effects on prostate cancer cell migration and invasion require FosB[J]. Prostate, 2017,77(1):72-81.

[收稿日期]2017-02-14

(上接第73页)

参考文献:

- [1] Wakeman DR, Crain AM, Snyder EY. Large animal models are critical for rationally advancing regenerative therapies [J]. Regen Med,2006, 1;405-413.
- [2] Pan J, Min F, Wang X, et al. Establishment of a special pathogen free Chinese Wuzhishan minipigs colony [J]. J AnimSci Technol, 2015, 57;7.
- [3] DB11/T828.1-2011, 实验用小型猪第1部分:微生物学等级及监测[S].
- [4] DB11/T 828. 2 2011, 实验用小型猪第2部分:寄生虫学等级及监测[S].
- [5] DB31/T 240 2001, 实验动物实验用小型猪[S].
- [6] DB45/T546-2008, 实验动物小型猪[S].
- [7] 胡燕,杨欣艳,王传彬,等.我国实验用小型猪三个种群微生物感染状况调查[J].中国比较医学杂志,2006,16(10):599-602.
- [8] 田维毅, 钱宁, 王平, 等. 贵州小型猪病原生物携带和感染状

- 况的调查[J]. 实验动物科学,2007,24(6):86-88.
- [9] 杨欣艳,胡燕,王传彬,等.国内不同地区实验用小型猪种群 微生物感染状况调查[J].实验动物科学,2007,24(1):21
- [10] 王峰, 孙瑞萍, 刘涛, 等. 海南封闭群五指山小型猪病原微生物携带状况调查[J]. 江苏农业科学, 2012, 40(7): 200-201.
- [11] 2016 年国家动物疫病强制免疫计划[E]. 农医发[2016] 10 号.
- [12] 孙倩. 实验动物学基础[M]. 北京: 北京科学技术出版社. 2005:97-129.
- [13] 万庆文,谢王韵,温贤诚,等.广东东莞地区猪肺炎支原体感染的血清学调查[J].广东畜牧兽医科技.2014,39(3):22-23.
- [14] 潘金春,任柏桦,闵凡贵,等.不同品系小型猪对高致病性猪繁殖与呼吸综合征病毒的敏感性筛选[J].中国比较医学杂志,2015,25(6);14-17.

[收稿日期] 2017 -03 -21